

* شبیه‌سازی عددی تأثیر مکان استقرار جت‌های برخوردی بر انتقال حرارت جابه‌جایی از سطح مقعر استوانه‌ای

رضا طریقی^(۱)مهران رجبی زرگرآبادی^(۲)

چکیده این مقاله در مورد تأثیر جابه‌جایی افقی جت‌ها بر انتقال حرارت جابه‌جایی از سطح مقعر استوانه‌ای بحث می‌کند. در این راستا معادلات متغیری شده برای جریان تراکم‌ناپذیر آشفته در حالت دائم بهمراه دو مدل آشفتگی رایج و یک مدل رینولدز پایین بهمراه تصحیح‌کننده یاپ، در یک فضای محاسباتی سه بعدی حل شده‌اند. نتایج نشان می‌دهد که اعمال تصحیح یاپ به طور قابل ملاحظه‌ای منجر به اصلاح تخمین بیشینه عدد ناسلت در نقطه برخورد می‌شود. نتایج بدست آمده نشان می‌دهد که با کاهش فاصله مرکز جت‌ها تا لبه خروجی صفحه مقعر بیشینه مقدار عدد ناسلت به سمت جریان بالادستی منتقل می‌شود و با نزدیک شدن جریان اصلی جت به ناحیه چرخشی ایجاد شده در بالادست جریان، انرژی جنبشی آشفتگی در این ناحیه افزایش می‌یابد و همین امر سبب افزایش عدد ناسلت در ناحیه برخورد شده است.

واژه‌های کلیدی انتقال حرارت برخوردی؛ جریان آشفته؛ تصحیح یاپ؛ عدد ناسلت.

Numerical Simulation of the Effect of the Location of Impinging Jets on the Convective Heat Transfer from a Cylindrical Concave Surface

R. Tarighi

M. Rajabi Zargarabadi

Abstract This paper discusses the effect of the horizontal movement of impinging jets on the convective heat transfer from a cylindrical concave surface. In this way, the averaged Navier-Stokes equations for turbulent incompressible flow in a steady state considering two prevalent turbulence models and a Low-Re model with the Yap correction in the 3D computational space were solved. Results indicate that the Yap correction significantly improves the over-prediction of Nusselt number in the impingement zone. The results show that the decrease in the distance of the center of the jets to the outlet edge of the concave surface leads to the transfer of the maximum amount of the Nusselt number to the upstream flow, and the approach of the main flow of the jet to the recirculation region formed in the upstream flow results in the increase in the turbulent kinetic energy of this area and the Nusselt number in the stagnation point.

Key Words Impingement Heat Transfer; Turbulent Flow; Yap correction; Nusselt Number.

*تاریخ دریافت مقاله ۹۴/۹/۲۷ و تاریخ پذیرش آن ۹۴/۶/۲۸ می‌باشد.

(۱) کارشناس ارشد، دانشکده مهندسی مکانیک، دانشگاه سمنان، سمنان.

(۲) نویسنده مسئول: استادیار دانشکده مهندسی مکانیک، دانشگاه سمنان، سمنان. rajabi@semnan.ac.ir

مقدمه

آزمایش طول لوله جت را به اندازه‌های بلند در نظر گرفتند که جریان خروجی از جت کاملاً توسعه یافته باشد. نتایج نشان داد که در رینولدزهای جت ۱۱۰۰ و ۲۳۰۰، ناسلت در نقطه برخورد هنگامی دارای مقدار بیشینه می‌باشد که $H/d=6$ باشد و با کاهش فاصله برخورد کاهش اندکی در ضریب انتقال حرارت نقطه برخورد مشاهده شد. همچنین برای فواصل کم برخورد بعد از مقدار بیشینه ناسلت در نقطه برخورد، بیشینه دومی به علت گذار جریان از آرام به آشفته در توزیع ناسلت گزارش شد.

فnot و همکاران [5] مطالعه‌ای تجربی را بر روی یک ردیف جت برخوردی به صفحه تخت و مقعر انجام دادند. در این آزمایش تأثیر عدد رینولدز، فاصله جت تا صفحه برخورد، فاصله مرکز تا مرکز جت‌ها (تعداد جت‌ها) و همچنین تأثیر دمای هوای ورودی به جت‌ها بر عدد ناسلت مورد بررسی قرار گرفت. آنها پس از مشاهده نمودارهای توزیع ناسلت در دماهای مختلف هوای ورودی به جت‌ها، مستقل بودن ناسلت از $(T_{\infty} - T_j = 0)$ را گزارش کردند. در مطالعه تجربی دیگری که توسط لی و همکاران [6] بر تک جت دایره‌ای در برخورد با صفحه مقعر استوانه‌ای انجام شد، نتایج نشان داد که با کاهش فاصله برخورد و افزایش زاویه‌ای که صفحه مقعر با افق می‌سازد بیشینه مقدار ناسلت به سمت جریان بالادستی انتقال می‌یابد، به طوری که در $H/d=2$ با افزایش زاویه صفحه مقعر نسبت به افق، از صفر درجه به 40 درجه، حداقل مقدار ناسلت از نقطه $S/d=0$ به $S/d = 0.7d$ انتقال یافته است. محمدپور و رجبی [7] در مطالعه‌ای عددی بر روی جت شیاری نوسانی در برخورد با صفحه مقعر مشاهده کردند که افزایش عدد رینولدز به طور محسوسی منجر به افزایش متوسط زمانی عدد ناسلت در هر دو حالت جت پایا و نوسانی می‌شود. همچنین در جت پایا، کاهش فاصله جت تا صفحه برخورد منجر به افزایش عدد ناسلت در نقطه برخورد شده

امروزه در صنعت یکی از روش‌های نسبتاً جدید و مؤثر برای خنک‌کاری قطعات داغ، انتقال حرارت به روش برخوردی می‌باشد. جت‌های برخوردی به دلیل دارا بودن نرخ انتقال حرارت بالا مورد توجه بسیاری از محققان قرار گرفته است. در این روش با اعمال مومنتوم قابل توجه به یک سیال خروجی از نازل و سپس با تشکیل یک لایه نازک هیدرودینامیکی و حرارتی بر روی سطح برخورد، بهبود قابل توجهی در افزایش میزان انتقال جرم، حرارت و مومنتوم حاصل خواهد شد. از جت‌های برخوردی در خنک‌کاری پرهای توربین گازی، قطعات الکترونیکی، دیواره محفظه احتراق، در صنایع دارویی و غذایی، در فرآیندهای برش و شکل‌دهی فلزات و خشک کردن کاغذ استفاده می‌شود. اصلی‌ترین کاربرد جت برخوردی به سطوح مقعر، مربوط به خنک‌کاری سطح داخلی لبه جلویی پره توربین گازی است. این بخش از پره توربین در برخورد با گازهای داغ به شدت تحت تأثیر قرار می‌گیرد و نیازمند خنک‌کاری می‌باشد.

مطالعه‌های وسیعی بر روی پارامترهای مؤثر بر جریان و انتقال حرارت برای تک جت‌ها و یا آرایه‌ای از جت‌ها انجام شده است. چوب و همکاران [1] مطالعاتی را روی یک ردیف جت برخوردی به صفحه مقعر انجام دادند. آنها افزایش عدد رینولدز را مهم‌ترین عامل در افزایش ضریب انتقال حرارت گزارش کردند. بانکر متزگر [2] از یک پوشش حساس به دما در آزمایش‌هایشان استفاده کردند. آنها وضعیت‌های متفاوتی از لبه جلویی پره یک توربین را مورد بررسی قرار دادند و در نتیجه افزایش بیشتر انحنای نسبی (نسبت قطر جت به قطر صفحه مقعر) را برای بهبود انتقال حرارت در لبه جلویی پره پیشنهاد دادند. در تحقیقی دیگر لی (Lee) و همکاران [3] کار جامعی را بر روی توزیع انتقال حرارت برای یک تک جت برخوردی به صفحه مقعر انجام دادند. آنها در این

رینولذ و کاهش فاصله مرکز تا مرکز جت‌ها، عدد ناسلت در نقطه برخورد افزایش یافته است. هم‌چنین آنها گزارش کردند که در عدد رینولذ ۱۰۰۰۰ با افزایش انحنای نسبی از $0/018$ به $0/027$ تغییر محسوسی برای عدد ناسلت در نقطه برخورد مشاهده نشده است. الیبری و تزیم [15] مطالعه تجربی و عددی را روی یک ردیف جت در برخورد با صفحه مقعر سهموی Realizable k-ε شکل انجام دادند. آنها مدل آشفتگی k-ε را جهت تحلیل عددی انتخاب کرده و تأثیر وجود جریان‌های عرضی بر ضریب انتقال حرارت روی صفحه مقعر را بررسی کردند. نتایج نشان می‌دهد که وجود جریان عرضی از نوع دایره‌ای سبب افزایش مقدار ناسلت متوسط بر روی صفحه مقعر می‌شود. مطالعه عددی دیگری توسط یانگ و همکاران [16] بر روی جریان و انتقال حرارت حاصل از یک جت شیاری در برخورد با صفحه مقعر انجام شد. آنها از دو مدل آشفتگی k-ε استاندارد و k-ω استاندارد جهت مدل‌سازی استفاده کرده و هر دو مدل آشفتگی ذکر شده توزیع عدد ناسلت را کمتر از مقادیر تجربی پیش‌بینی کردند. در نهایت آنها مدل k-ε استاندارد را به دلیل مطابقت بیشتر با داده‌های تجربی به عنوان مدل آشفتگی مناسب در نظر گرفتند. نتایج ارائه شده نشان می‌دهد که افزایش فاصله برخورد سبب افزایش انرژی جنبشی آشفتگی و شدت آشفتگی جریان جت در ناحیه برخورد شده و همین امر افزایش ناسلت در نقطه برخورد را به همراه دارد. در مطالعه عددی دیگری که توسط اگزای و همکاران [17] بر روی تک جت برخوردی با جریان توسعه یافته به صفحه مقعر انجام شد، تأثیر عمق نسبی (نسبت عمق به قطر صفحه مقعر) بر عدد ناسلت در نقطه برخورد مورد بررسی قرار گرفت. نتایج نشان می‌دهد که در یک انحنای نسبی ثابت، کاهش عمق نسبی از $0/03$ به $0/01$ سبب افزایش عدد ناسلت در نقطه برخورد و کاهش ناسلت متوسط سطح برخورد می‌شود.

است. این در حالی است که در جت نوسانی با کاهش فاصله برخورد، کاهش و در برخی مناطق افزایش عدد ناسلت مشاهده شده است. در مطالعه‌ای دیگر، محمدپور و همکاران [8] با تحلیل عددی روی جت نوسانی برخوردی به سطح مقعر مشاهده کردند که با افزایش فرکانس نوسانات از 10 به 50 هرتز، متوسط کلی عدد ناسلت افزایش می‌یابد. بازدیدی تهرانی و همکاران [9] به بررسی جت برخوردی نوسانی به صفحه تخت با شار حرارتی ثابت پرداختند. آنها ضمن مقایسه مدل‌های آشفتگی مختلف نشان دادند که با افزایش فاصله جت از سطح برخورد، عدد ناسلت افزایش یافته است. شریف و موته [10] مطالعه عددی روی جت شیاری برخوردی به صفحه تخت و مقعر انجام دادند. آنها در این تحقیق از پنج مدل آشفتگی SST k-ω، Realizable k-ε، RNG k-ε و استاندارد k-ω استفاده کردند. نتایج RNG k-ε و SST k-ω مطابقت بهتری با داده‌های تجربی چوی و همکاران [11] دارد. هم‌چنین آنها با مقایسه پروفیل سرعت متوسط خروجی از جت، با داده‌های تجربی، در نهایت مدل k-ε RNG را به عنوان مدل مناسب انتخاب کردند. کومار و پراساد [12] مطالعه عددی را روی جریان و انتقال حرارت حاصل از یک ردیف جت با سطح مقطع دایره‌ای در برخورد با صفحه مقعر انجام دادند. آنها از دو مدل آشفتگی k-ε و SST در این تحقیق استفاده کردند. پس از مقایسه نتایج حاصل از کار عددی با داده‌های تجربی، مدل آشفتگی k-ω SST را با خطای کمتر از 12 درصد برای ناسلت در نقطه برخورد، به عنوان مدلی مناسب انتخاب کردند. مارتین و همکاران [13, 14] مطالعه تجربی و عددی را روی یک ردیف جت در برخورد با صفحه مقعر انجام دادند. آنها پس از ارزیابی مدل‌های مختلف آشفتگی، مشاهده کردند که مدل k-ω SST مطابقت بهتری با نتایج تجربی دارد. نتایج نشان می‌دهد که با افزایش عدد

جت‌ها به اندازه‌ای بلند در نظر گرفته شده است که جریان خروجی از جت‌ها کاملاً توسعه یافته باشد. در مطالعهٔ تجربی انجام شده توسط فنوت و همکاران [5]، صفحهٔ نگه‌دارنده‌ای در خروجی جت‌ها قرار داده شده است. این صفحه از ارتعاش جت‌ها (به‌دلیل سرعت بالای سیال خروجی) و همچنین از برخورد جریان برگشتی به سمت دیواره جت‌ها جلوگیری می‌کند. صفحهٔ ذکر شده که دارای طولی معادل طول صفحهٔ مقعر و عرض 30 میلی‌متر می‌باشد در مطالعهٔ حاضر در نظر گرفته شده است. تمامی جزئیات ابعاد هندسی مسئله در جدول (۱) بیان شده‌اند.

مطابق شکل (۱) شرط مرزی سرعت در ورودی جت‌ها در نظر گرفته شده است و دمای هوای ورودی به جت‌ها برابر 298 کلوین، شدت آشفتگی در ورودی جت‌ها 5% و با توجه به این که سطح مقطع جت‌ها دایره‌ای می‌باشد، قطر هیدرولیکی برای محاسبه عدد رینولدز و عدد ناسلت، برابر با قطر جت در نظر گرفته شده است. صفحهٔ برخورد دارای شار حرارتی ثابت $q'' = 5000 \text{ W/m}^2$ می‌باشد و دیواره نازل جت‌ها آدیاباتیک فرض شده است.

همچنین در دو انتهای صفحهٔ مقعر از شرط مرزی دیواره استفاده شده و برای دیواره‌ها در تمامی محدودهٔ محاسباتی از شرط عدم لغزش (صفر بودن سرعت نسبی روی دیواره‌ها) استفاده شده است. اشاره به این نکته مهم است که در بسیاری از مطالعات عددی انجام شده در زمینهٔ یک ردیف جت یا آرایه‌ای از جت‌ها، در برخورد با صفحهٔ مقعر [20, 18, 15, 12] یا صفحهٔ تخت [21] با وجود تقارن‌های هندسی، سعی شده است به‌منظور پایداری بهتر جواب‌ها از ساده‌سازی‌های هندسی صرف نظر گردد. در مطالعهٔ حاضر نیز این امر مورد توجه قرار گرفته است.

اخیراً یانگ و همکاران [18] مطالعهٔ تجربی و عددی را روی یک ردیف جت مدور در برخورد با صفحهٔ مقعر انجام داده‌اند. آنها از سه مدل آشفتگی Realizable k-ε و SST k-ω و RNG k-ε پایا و گذرا استفاده کردند و مقادیر پیش‌بینی شده برای عدد ناسلت توسط سه مدل ذکر شده بیش از مقادیر تجربی بوده است. در نهایت مدل SST k-ω به‌دلیل مطابقت بهتر با نتایج تجربی انتخاب کردند و در سه عدد رینولدز 10000 و 15000 و 20000 به تحلیل جریان و انتقال حرارت پرداختند.

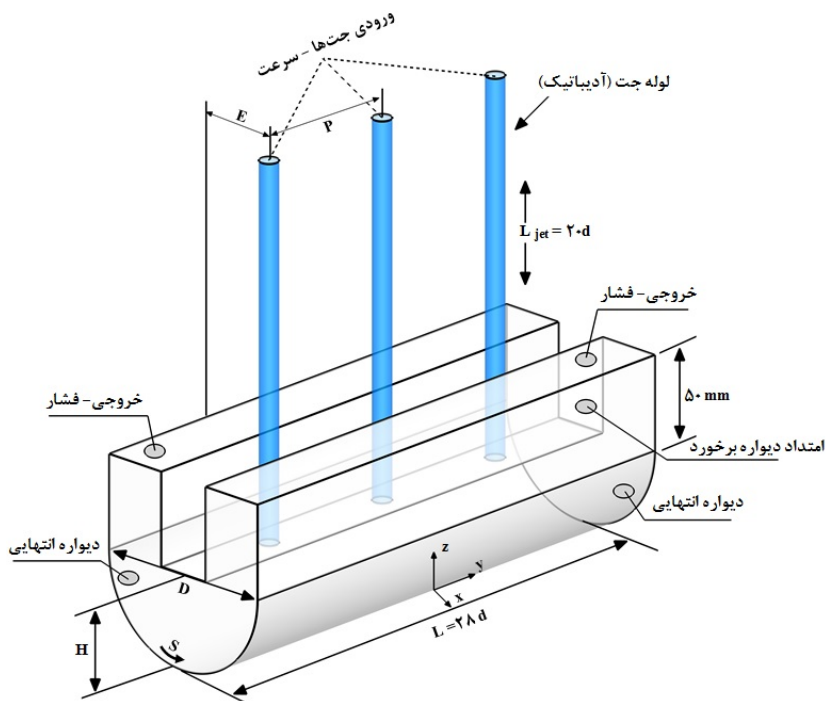
در تحقیق حاضر، ابتدا نتایج شبیه‌سازی جریان برای یک هندسهٔ مرجع با استفاده از نرم‌افزار انسیس فلوئنت ۱۴ [19] انجام شده و به‌منظور اعمال تصحیح یاپ در معادلهٔ ϵ ، کد محاسباتی به زبان C نوشته شده و به نرم‌افزار اضافه شده است و در نهایت نتایج عددی با نتایج تجربی موجود مقایسه شده و پس از انتخاب مدل آشفتگی مناسب، تأثیر انحراف نسبی و فاصلهٔ مرکز جت تا لبهٔ خروجی صفحهٔ مقعر بر میدان جریان و میزان انتقال حرارت، در اعداد رینولدز مختلف مورد بررسی قرار گرفته است. لازم به ذکر است که تا کنون تأثیر مکان استقرار جت‌های برخوردی بر انتقال حرارت جابه‌جاکی از سطح مقعر استوانه‌ای مورد مطالعه قرار نگرفته است.

هندسهٔ میدان حل و شرایط مرزی

در شکل (۱) نمایی از یک ردیف جت با سطح مقطع دایره‌ای و صفحهٔ مقعر مورد مطالعه در این پژوهش نشان داده شده است. صفحهٔ برخورد به شکل یک نیم‌استوانه به قطر 100 میلی‌متر و دارای طولی معادل 28 برابر قطر جت ($28d$) می‌باشد که به‌وسیلهٔ دو صفحهٔ تخت با عرض 50 میلی‌متر و طول $28d$ در راستای محوری Z امتداد یافته است. همچنین طول لولهٔ

جدول ۱ هندسه مورد بررسی [5]

(mm)	نام	عنوان
10, 15	d	قطر جت
20d	L _{jet}	طول جت
100	D	قطر صفحه مکعب
5d	H	فاصله برخورد
8d	P	فاصله مرکز تا مرکز جت‌ها
28d	L	طول صفحه مکعب
2d, 3d, 4d, 5d	E	فاصله مرکز جت تا لبه خروجی



شکل ۱ هندسه میدان حل و شرایط مرزی [5]

معادلات حاکم و مدل‌سازی آشتفتگی

معادلات حاکم. معادلات حاکم بر مسأله، معادله‌های پیوستگی، مومنتوم و انرژی می‌باشند که به ترتیب در روابط (۱-۳) نشان داده شده‌اند:

$$\frac{\partial(\rho u_i)}{\partial x_i} = 0 \quad (1)$$

سیال مورد مطالعه هوا می‌باشد و به‌طور کلی از فرض جریان تراکم‌ناپذیر [18, 12, 15] استفاده شده است. شایان ذکر است که به علت وجود اختلاف دما در محدوده محاسباتی، دو خاصیت ترموفیزیکی سیال، یعنی چگالی و ضریب هدایت گرمایی وابسته به دما در نظر گرفته شده‌اند [14]. دما (۲۹۸ کلوین) و فشار محیط در شرایط استاندارد است و شرایط مرزی در خروجی‌ها نیز فشار می‌باشد.

راهگزینی پیاپی از یک مدل به مدل دیگر ممکن است با رفتارهای ناپایداری مواجه شود. در این مدل آشفتگی به جای نرخ اضمحلال لرج انرژی جنبشی آشفته (۴) از کمیت فرکانس آشفتگی (۵) استفاده می‌شود. روابط ۶ و ۵ به ترتیب مربوط به معادلات انتقال k و ω

می‌باشند:

$$\frac{\partial(\rho k)}{\partial t} + \frac{\partial(\rho u_i k)}{\partial x_i} = \frac{\partial}{\partial x_i} \left[(\mu + \sigma_k \mu_t) \frac{\partial k}{\partial x_i} \right] + \tilde{P}_k - \beta^* \rho k \omega \quad (5)$$

$$\frac{\partial(\rho \omega)}{\partial t} + \frac{\partial(\rho u_i \omega)}{\partial x_i} = \frac{\partial}{\partial x_i} \left[(\mu + \sigma_\omega \mu_t) \frac{\partial \omega}{\partial x_i} \right] + \alpha \frac{\omega}{k} P_k - \beta \rho \omega^2 + 2\rho(1-F_1)\sigma_{\omega 2} \frac{1}{\omega} \frac{\partial k}{\partial x_i} \frac{\partial \omega}{\partial x_i} \quad (6)$$

لزجت گردابهای به صورت تابعی از انرژی جنبشی آشفتگی و فرکانس آشفتگی، مطابق رابطه (۷) بیان می‌شود.

$$\mu_t = \frac{a_1 \rho k}{\max(a_1 \omega, SF_2)} \quad a_1 = 0.31 \quad (7)$$

تابع آمیختگی F₁ و F₂ به ترتیب در روابط ۸ و ۹ بیان شده‌اند. شایان ذکر است که تابع آمیختگی F₁ به گونه‌ای طراحی شده است که در نواحی نزدیک دیواره دارای مقدار یک و در نواحی دور از دیواره دارای مقدار صفر می‌باشد. در نواحی واسطه میان این دو ناحیه حدی نیز ترکیبی از این دو باقی می‌ماند.

$$F_1 = \tanh \left[\left(\min(A, B) \right)^4 \right] \quad A = \max \left(\frac{\sqrt{k}}{B^* \omega y}, \frac{500\mu}{\rho y^2 \omega} \right), B = \frac{4\rho \sigma_{\omega 2} k}{C D_{k \omega} y^2} \quad (8)$$

$$F_2 = \tanh \left[\left(\max \left(\frac{2\sqrt{k}}{B^* \omega y}, \frac{500\mu}{\rho y^2 \omega} \right) \right)^2 \right] \quad (9)$$

$$\frac{\partial(\rho u_i u_j)}{\partial x_j} = - \frac{\partial P}{\partial x_i} + \frac{\partial}{\partial x_j} \left(2\mu S_{ij} - \rho \bar{u_i} \bar{u_j} \right) \quad (2)$$

$$\frac{\partial(\rho C_p u_i T)}{\partial x_i} = \frac{\partial}{\partial x_j} \left(K \frac{\partial T}{\partial x_j} - \rho C_p \bar{u_i} \bar{T} \right) \quad (3)$$

در روابط (۱-۳)، u_i سرعت متوسط، u_i'، u_j' مؤلفه‌های نوسانی سرعت و P فشار استاتیکی متوسط می‌باشد. در رابطه (۲) S_{ij} تانسور نرخ کرنش متوسط سیال می‌باشد، به طوری که:

$$S_{ij} = \frac{1}{2} \left(\frac{\partial u_i}{\partial x_j} + \frac{\partial u_j}{\partial x_i} \right) \quad (4)$$

برای دست‌یابی به متغیرهای سرعت (u_i)، فشار (p) و دما (T) و حل معادلات، بایستی ترم‌های آشفتگی شامل تنش رینولدز (u_i' u_j') و انتقال حرارت به طریق جابه‌جایی آشفته (u_i' T') مدل‌سازی شوند. این مهم از طریق استفاده از مدل‌های آشفتگی قابل انجام است.

مدل انتقال تنش برشمی SST k-ω نظر به توانایی مدل کلاسیک ویلکاکس k-ω برای پیش‌بینی جریان در نزدیک دیواره و قدرت مدل k-ε استاندارد برای جریان آزاد دور از دیواره، متر (Menter) [22] مدلی بر مبنای ترکیب این دو مدل تحت عنوان SST k-ω ارائه داد تا از قابلیت هر دوی آنها استفاده کند. برای این منظور، دو مدل مذکور در یک تابع آمیختگی ضرب و با هم جمع می‌شوند. تابع آمیختگی به صورتی عمل می‌کند که در نزدیکی دیواره مدل ویلکاکس k-ω و در ناحیه جریان آزاد مدل k-ε استاندارد را فعال می‌کند. اگرچه این روش می‌تواند منجر به افزایش قابل توجه در قابلیت‌های هر دو مدل گردد، اما به واسطه فرآیند

$$S_{\varepsilon} = \max \left[0.83 \left(\frac{1}{l_e} - 1 \right) \left(\frac{1}{l_e} \right)^2 \frac{\varepsilon^2}{k}, 0 \right] \quad (14)$$

شبکه محاسباتی و روش حل عددی

در تحقیق حاضر از شبکه‌ای سه‌بعدی، سازمان یافته و غیریکنواخت برای گستره‌سازی میدان حل استفاده شده و نمونه‌ای از شبکه‌بندی در شکل (۲) ارائه شده است. هم‌چنین با توجه به پیچیدگی‌های موجود برای مدل‌سازی سه‌بعدی، از نرم‌افزار انسیس فلوئنت کمک گرفته شده و به منظور اعمال تصحیح یاپ در مدل (CHC) کدی به زبان C نوشته شده و به نرم‌افزار اضافه شده است. به علاوه به موجب استفاده از مدل‌های رینولدز پایین، به منظور مدل‌سازی مناسب جریان مجاور دیواره، سلول‌های شبکه در نزدیکی صفحه برخورد ریزتر شده و بر تراکم شبکه در این ناحیه افزوده شده است. به طوری که مقادیر فاصله بدون بعد (y^+) از دیواره‌ها کمتر از یک می‌باشد [14-18]. به منظور ارزیابی حساسیت نتایج محاسباتی به اندازه و تراکم سلول‌های شبکه، محاسبات برای سه شبکه با اندازه و تراکم متفاوت، برای توزیع عدد ناسلت در راستای محوری y در شکل (۳) نشان داده شده است. در نهایت شبکه‌ای با تعداد سلول‌های محاسباتی ۲۷۰۷۸۷۲ انتخاب شده و بررسی حل مستقل از شبکه‌بندی برای سایر حالت‌های مسئله نیز انجام شده است. برای گستره‌سازی معادله‌های مومنتوم، آشفتگی و انرژی از تقریب بالادست مرتبه دوم استفاده شده و ارتباط میان سرعت و فشار از طریق الگوریتم سیمپل برقرار شده است. مبنای هم‌گرایی جواب‌ها، میزان باقیمانده نسبی می‌باشد که برای تمامی پارامترها در نظر گرفته شده است.

هم‌چنین $CD_{k\omega}$ که به خاطر نفوذ عرضی درتابع ظاهر شده است با رابطه (۱۰) تعریف می‌شود.

$$CD_{K\omega} = \max \left[2\rho\sigma_{\omega 2} \frac{1}{\omega} \frac{\partial k}{\partial x_i} \frac{\partial \omega}{\partial x_i}, 10^{-10} \right] \quad (10)$$

مدل‌های رینولدز پایین و تصحیح یاپ. در مدل‌های رینولدز پایین برای اطمینان از این که تنش‌های لزجی بر تنش‌های رینولدز در اعداد رینولدز پایین و در لایه زیرین لزج نزدیک دیواره جامد غلبه می‌کنند، استفاده از میرا کردن دیوار لازم است. معادلات مربوط به (k) و (ε) در مدل‌های رینولدز پایین به ترتیب عبارتند از:

$$\rho \frac{\partial k}{\partial t} + \rho u_i \frac{\partial k}{\partial x_i} = \frac{\partial}{\partial x_i} \left[\left(\mu + \frac{\mu_t}{\sigma_k} \right) \frac{\partial k}{\partial x_i} \right] + 2\mu_t S_{ij} S_{ji} - \rho \varepsilon \quad (11)$$

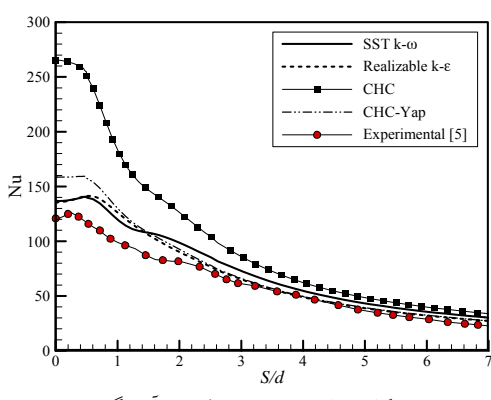
$$\rho \frac{\partial \varepsilon}{\partial t} + \rho u_i \frac{\partial \varepsilon}{\partial x_i} = \frac{\partial}{\partial x_i} \left[\left(\mu + \frac{\mu_t}{\sigma_\varepsilon} \right) \frac{\partial \varepsilon}{\partial x_i} \right] + C_1 f_1 \frac{\varepsilon}{k} 2\mu_t S_{ij} S_{ji} - C_2 f_2 \rho \frac{\varepsilon^2}{k} \quad (12)$$

لزجت آشفتگی به صورت زیر تعریف شده است:

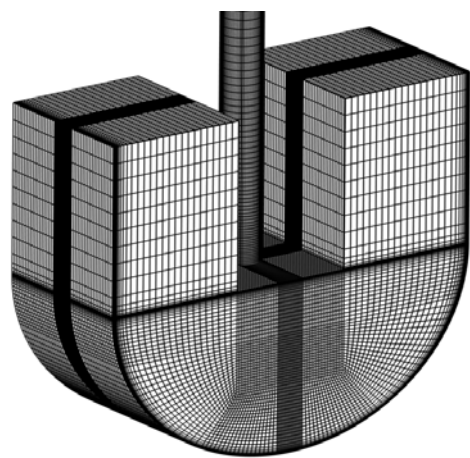
$$\mu_t = \rho C_\mu f_\mu \frac{k^2}{\varepsilon} \quad (13)$$

در پژوهش حاضر از مدل رینولدز پایین CHC [23] به همراه تصحیح یاپ [24] استفاده شده است. توابع f_1, f_2, f_μ در معادلات (۱۱-۱۳) توابع میرا کننده می‌باشند. تصحیح یاپ به شکل یک عبارت چشممه به معادله (۱۴) اضافه می‌شود و سبب افزایش مقدار (۱۴) می‌گردد. این امر می‌تواند بر کاهش میزان انرژی جنبشی آشفتگی و به دنبال آن کاهش عدد ناسلت روی سطح برخورد تأثیر در خور توجیه داشته باشد [25-27]. عبارت چشممه ذکر شده با رابطه (۱۴) مطرح می‌شود.

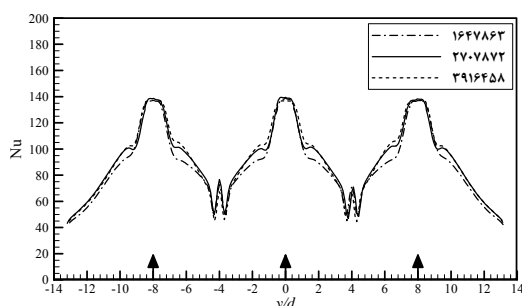
این مدل‌ها با تعریف توابع میرایی، نواحی لایه آرام و ناحیه میانی تعیین می‌شود. روابط محاسبه تنش‌های برشی در نواحی با جریان آرام (نقطه برخورد و ناحیه نزدیک دیواره) متفاوت از نواحی با جریان درهم خواهد بود. یکی از نقاط ضعف مدل‌های آشفتگی، پیش‌بینی دقیق عدد ناسلت در نقطه برخورد می‌باشد. علت تخمین بیشینه عدد ناسلت در نقطه برخورد ناتوانی مدل‌ها در پیش‌بینی انرژی جنبشی آشفتگی و استهلاک آن در نواحی با گرادیان سرعت شدید می‌باشد. به منظور تحلیل بیشتر میدان آشفتگی جریان سیال، توزیع انرژی جنبشی آشفتگی و شدت آشفتگی در خط مرکزی عبوری، از خروجی جت تا نقطه برخورد، در شکل (۶) نشان داده شده است. در این تصویر پیش‌بینی بسیار بالای انرژی جنبشی آشفتگی توسط مدل CHC به‌وضوح دیده می‌شود که ناشی از طبیعت دیفیوژن بالا در این مدل می‌باشد. به‌نظر می‌رسد استفاده از این مدل حتی با اعمال تصحیح یاپ، در شبیه‌سازی جت برخوردی چندان مطلوب نباشد. مدل SST $k-\omega$ سطح انرژی جنبشی آشفتگی و شدت آشفتگی در ناحیه برخورد را کاملاً کمتر از سایر مدل‌ها پیش‌بینی کرده است و به‌نظر می‌رسد که با خطای $11/47$ برای عدد ناسلت در نقطه برخورد و پیش‌بینی مطلوب رفتار توزیع ناسلت در راستای منحنی، مناسب‌ترین گزینه برای بررسی بیشتر رفتار جت برخوردی به سطح مقعر باشد.



شکل ۴ اعتبارسنجی مدل‌های آشفتگی

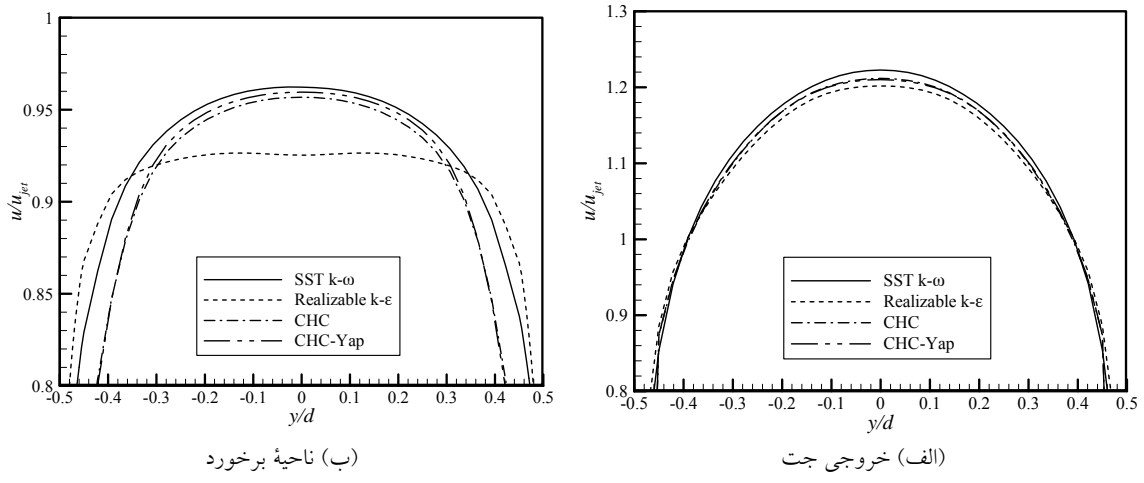


شکل ۲ شبکه محاسباتی در محدوده جت مرکزی

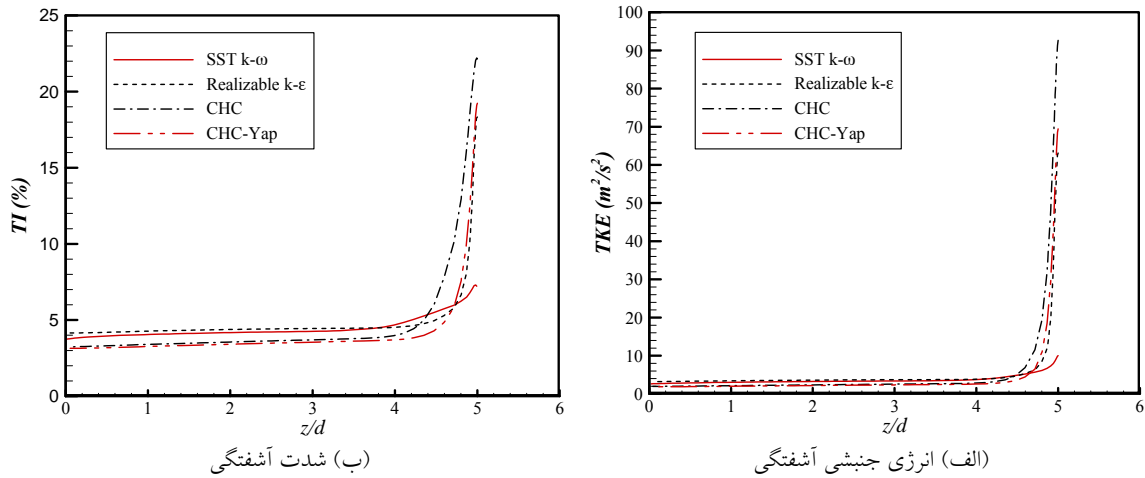
شکل ۳ استقلال حل از شبکه، $Re = 23000, C_r = 0/1, H/d = 5$

اعتبارسنجی

به‌منظور بررسی اعتبار حل عددی، توزیع عدد ناسلت در رینولدز 23000 (سرعت در ورودی جت‌ها $1/86 \text{ m.s}^{-1}$)، به‌دست آمده از پژوهش حاضر با نتایج تجربی فتوت و همکاران [5] در شکل (۴) مورد مقایسه قرار گرفته است. مشاهده می‌شود که هر چهار مدل آشفتگی مورد استفاده رفتار نسبتاً مشابهی را به‌صورت کیفی نشان می‌دهند. به‌منظور بررسی بیشتر، در شکل (۵) توزیع شعاعی سرعت از دهانه خروجی جت تا نزدیک ناحیه برخورد، برای مدل‌های آشفتگی استفاده شده در این تحقیق مورد مقایسه قرار گرفته‌اند. مدل آشفتگی SST $k-\omega$ ، نسبت به سایر مدل‌های استفاده شده سرعت بیشتری را پیش‌بینی می‌کند و هم‌چنین به‌موجب اعمال تصحیح یاپ در مدل CHC تغییر چندانی بر توزیع سرعت مشاهده نمی‌شود. در



شکل ۵ توزیع سرعت شعاعی از دهانه خروجی جت تا ناحیه برخورد



شکل ۶ توزیع انرژی جنبشی آشفتگی و شدت آشفتگی در خط مرکزی عبوری از خروجی جت تا نقطه برخورد

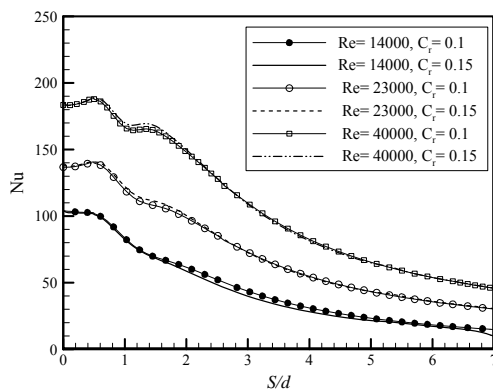
طبق نظر تومن [28] و شلیختینگ [29] یک نیروی گریز از مرکز که ناشی از انحنای سطح مقعر می‌باشد، می‌تواند تمام جریان روی صفحه مقعر را بثبات کند و مجموعه‌ای از ورتکس‌ها در مقیاس بزرگ را به وجود آورد. این مجموعه از ورتکس‌ها در راستای جریان (در راستای منحنی)، که به‌طور کلی ورتکس‌های تیلور-گوتلر نامیده می‌شوند، می‌تواند به نوعی خود سبب افزایش انتقال مومنتوم و انرژی نزدیک دیواره برخورد شوند که همین امر عاملی برای افزایش انتقال حرارت بر روی سطح برخورد می‌باشد. در

بحث پیرامون نتایج

تأثیر انحنای نسبی. در مطالعه حاضر انحنای نسبی، نسبت قطر جت به قطر صفحه مقعر تعریف شده است. برای تغییر در انحنای نسبی قطر جت تغییر داده شده و قطر صفحه برخورد ثابت می‌ماند. در شکل (۷) مشاهده می‌شود که با افزایش انحنای نسبی از $1/15$ ناسلت در نقطه برخورد افزایش قابل توجهی نداشته است و رفتار کلی توزیع عدد ناسلت در راستای منحنی تفاوتی نکرده است و تغییر شیب‌ها، کمینه‌ها و بیشینه‌های نسبی هم‌چنان وجود دارند. به‌طور کلی بر

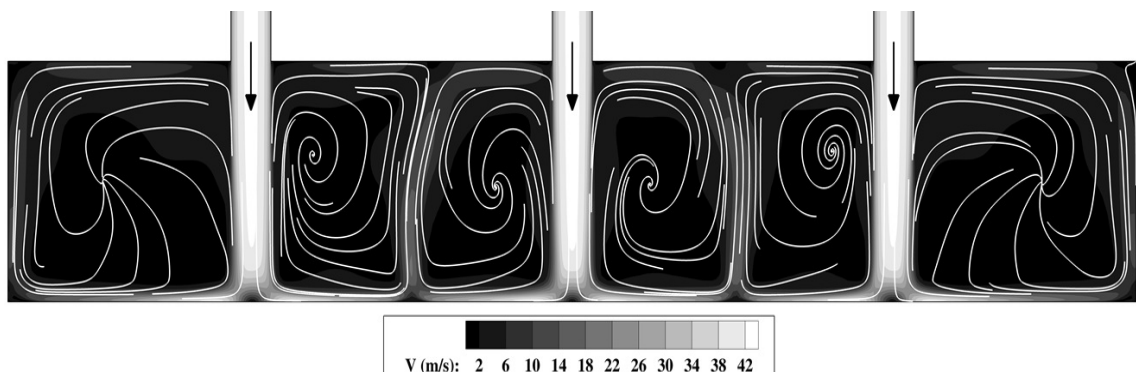
ملاحظه‌ای کمتر از $0/3$ است و می‌توان جریان را تراکم‌ناپذیر در نظر گرفت. با در نظر گرفتن میدان جریان در حد فاصل بین دو جت، ملاحظه می‌شود که جریان چشم‌های ناشی از برخورد جت‌های دیواره، تشکیل شده است. برخورد دو جت دیواره در حد فاصل بین جت‌ها سبب شده است تا علاوه بر نقطه سکون اولیه در محل برخورد جریان اصلی جت با صفحه برخورد، نقطه سکون ثانویه‌ای در حد فاصل بین جت‌ها ایجاد شود. هم‌چنین با توجه به شکل (۹)، مشاهده می‌شود که با جابه‌جایی افقی جت‌ها یا به عبارت دیگر با کاهش فاصله مرکز جت تا لبه خروجی سطح برخورد، میدان جریان به دو ناحیه جریان پایین دستی (I) و جریان بالا دستی (II) تقسیم می‌شود که در این حالت نقطه سکون به سمت جریان بالادستی انحراف پیدا کرده است. هم‌چنین مشاهده می‌شود که با کاهش E/d و نزدیک شدن جریان اصلی جت به ناحیه چرخشی ایجاد شده در جریان بالادستی، انرژی جنبشی آشفتگی در این ناحیه افزایش می‌یابد که این امر می‌تواند تأثیر بهسزایی بر افزایش انتقال حرارت در ناحیه برخورد داشته باشد.

حقیقت با افزایش انحنای نسبی، اندازه ورتکس‌های تیلور-گوتلر افزایش می‌یابد و همین امر می‌تواند سبب افزایش ضریب انتقال حرارت روی صفحه برخورد شود.

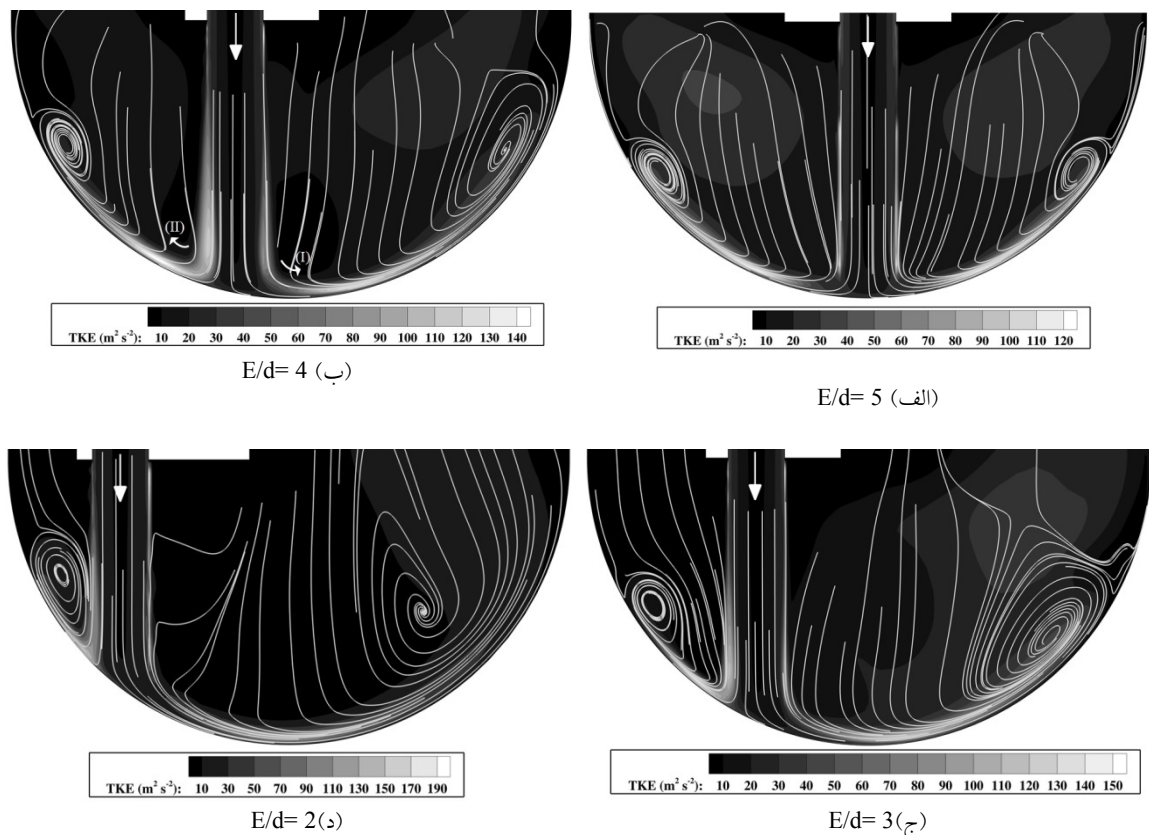


شکل ۷ تأثیر انحنای نسبی بر توزیع ناسلت در راستای محور S

تأثیر مکان استقرار جت‌ها بر میدان جریان و انتقال حرارت. در شکل (۸) کانتور میدان سرعت در حالت مرجع ($E/d=5$) در عدد رینولدز 23000 و $H/d=5$ نشان داده شده است. با توجه به این‌که در عدد رینولدز 23000 سرعت جریان هوا در ورودی جت‌ها کمتر از 35 متر بر ثانیه است و مطابق نتایج به دست آمده سرعت در تمامی نواحی میدان جریان کمتر از 45 متر بر ثانیه می‌یابد، بنابراین محدوده عدد ماخ به طور قابل

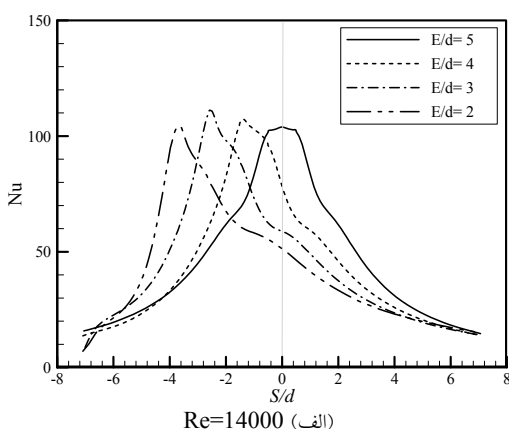


شکل ۸ خطوط جریان و میدان سرعت برای یک ردیف جت 3 تایی در صفحه $y-Z$.



شکل ۹ تأثیر جابه‌جایی افقی جت‌ها بر انرژی جنبشی آشفتگی و خطوط جریان در صفحه $x-z$ ، $Re = 40000$, $Cr = 0.1$

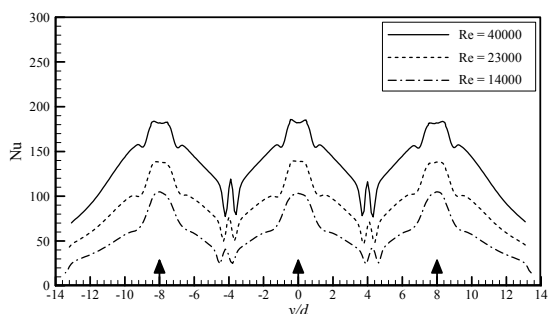
۲۳۰۰۰ و ۴۰۰۰۰ باشد توزیع عدد ناسلت در نقطه برخورد دارای یک کمینه محلی می‌باشد. این در حالی است که با کاهش عدد رینولدز به ۱۴۰۰۰، چنین کمینه محلی در نقطه برخورد مشاهده نمی‌شود.



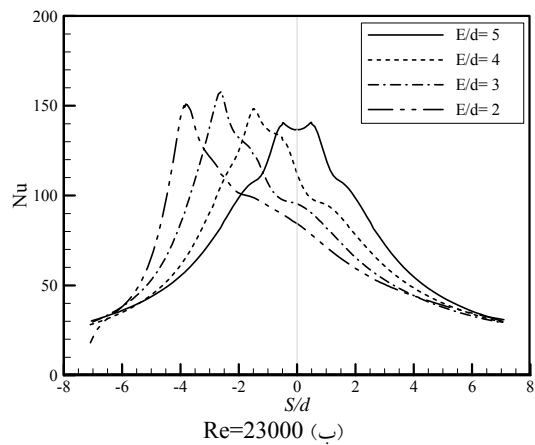
در شکل (۱۰) توزیع عدد ناسلت در راستای منحنی برای اعداد رینولدز ۱۴۰۰۰، ۲۳۰۰۰ و ۴۰۰۰۰ در E/d ‌های مختلف نشان داده شده است. نتایج نشان می‌دهد که برای حالت مرجع ($E/d=5$) توزیع ناسلت در راستای منحنی کاملاً متفاوت است و به‌طور کلی افزایش عدد رینولدز جت از ۱۴۰۰۰ به ۴۰۰۰۰ سبب افزایش ضریب انتقال حرارت به میزان محسوسی در نقطه برخورد و راستای منحنی شده است. برای صفحه تخت، وابستگی ناسلت با عدد رینولدز به شکل یک رابطه توانی ($Nu \propto Re^n$) می‌باشد. گلداشتاین و همکاران [30] با مطالعه بر روی یک ردیف جت برخورده به صفحه تخت مقدار n را روی خط برخورد، برابر $0/67$ و برای جریان پایین دستی برابر $7/0$ گزارش کردند. هم‌چنین در حالتی که عدد رینولدز

توجهی بر عدد ناسلت در نقطه برخورد ندارد. هم‌چنین با کاهش E/d مقدار بیشینه ناسلت که در نقطه برخورد ایجاد شده است به‌سمت جریان بالادستی انحراف پیدا می‌کند. در عدد رینولدز ۲۳۰۰۰ مقدار بیشینه ناسلت برای E/d های ۴ و ۳ و ۲ به ترتیب در $E/d = 1/47$ و $-2/6$ و $-3/8$ مشاهده می‌شود. در عدد رینولدز ۴۰۰۰۰، با کاهش E/d ، ناسلت در نقطه برخورد افزایش می‌یابد، به‌گونه‌ای که در $E/d = 2$ برابر ۲، به میزان ۲۱ درصد افزایش ناسلت در نقطه برخورد نسبت به حالت مرجع مشاهده می‌شود. شایان ذکر است که توزیع عدد ناسلت، با کاهش E/d در راستای جریان بالادستی، بالاتر از حالت مرجع و در راستای جریان پایین‌دستی همواره پایین‌تر از حالت مرجع است.

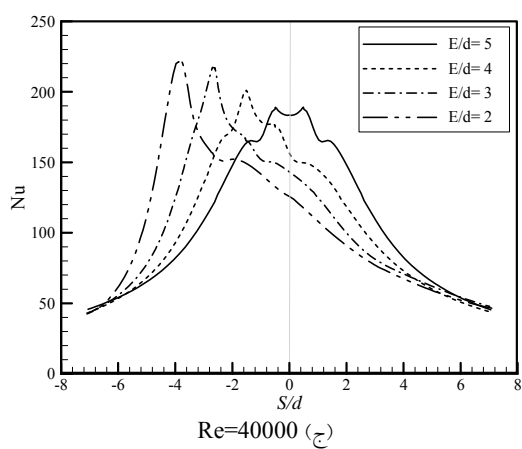
در شکل (۱۱) توزیع عدد ناسلت در راستای محوری y نشان داده شده است. با در نظر گرفتن الگوی توزیع عدد ناسلت بین جت‌های مستقر در $y/d = 0$ و $y/d = 8$ مشاهده می‌شود که در دو عدد رینولدز ۲۳،۰۰۰ و ۴۰،۰۰۰ تغییر شبیه برای $y/d < 1.45$ ایجاد شده است که البته این تغییر شبی در عدد رینولدز ۴۰،۰۰۰ به شکل یک کمینه و بیشینه محلی ظاهر شده است. سپس عدد ناسلت شروع به کاهش می‌کند، تا در حد فاصل بین جت‌ها ($y/d = 4$)، بیشینه محلی ظاهر می‌شود که ناشی از اثر چشم و برخورد دو جت دیواره و ایجاد نقطه سکون ثانویه (گرادیان‌های سرعت در این ناحیه شدید می‌باشد) در حد فاصل بین دو جت می‌باشد.



شکل ۱۱ توزیع عدد ناسلت در راستای محوری y .



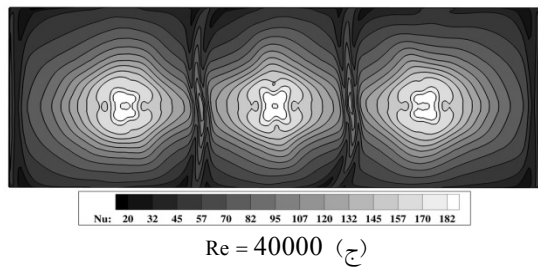
(ب) $Re=23000$



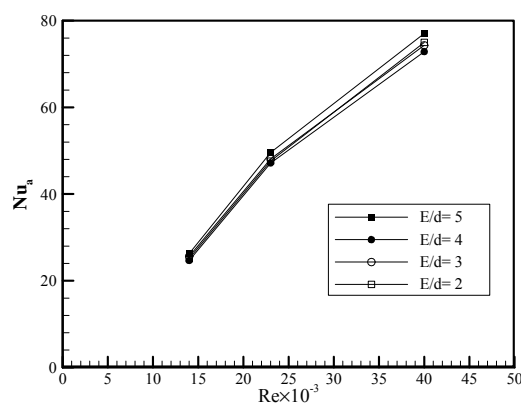
(ج) $Re=40000$

شکل ۱۰ تأثیر فاصله مرکز جت تالیه خروجی سطح مقعر بر توزیع عدد ناسلت در راستای منحنی

فنوت و همکاران [۵] وجود این حداقل نسبی در نقطه برخورد برای صفحه مقعر را به ناحیه سیال مرده ارتباط دادند. ناحیه سیال مرده توسط گیلارد و بریزی [۳۱] در مطالعه تجربی آنها روی یک جت شیاری در برخورد با صفحه مقعر مشاهده شده است. آنها سرعت متوسط سیال در این ناحیه را بسیار ناچیز گزارش کردند. در حقیقت اینجا صفحه مقعر، اجازه خروج کامل جریان را نمی‌دهد و سبب تشکیل ناحیه سیال مرده بر روی خط برخورد می‌شود. این ناحیه از برخورد مستقیم جریان جت به صفحه مقعر جلوگیری می‌کند و همین امر سبب کاهش عدد ناسلت در نقطه برخورد می‌شود. با کاهش عدد رینولدز به ۱۴۰۰۰ از حجم ناحیه سیال مرده کاسته می‌شود و تأثیر قابل



شکل ۱۲ کانتور توزیع ناسلت بر روی سطح مقعر

شکل ۱۳ ناسلت متوسط کل صفحه، $C_f = 0/1$

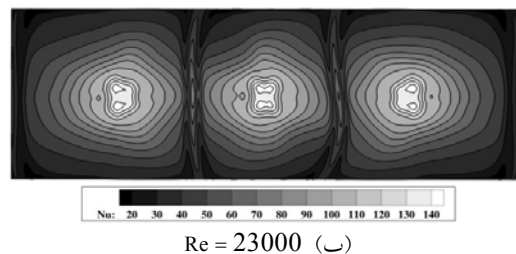
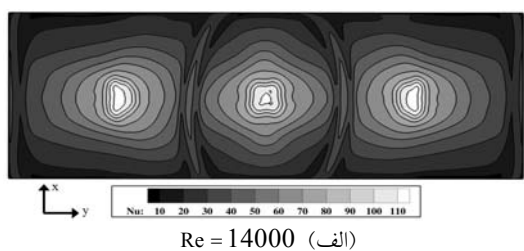
نتیجه‌گیری

در این مقاله نحوه عملکرد و میزان دقت محاسباتی برخی از مدل‌های رایج آشفتگی و مدل رینولذز پایین CHC بهمراه اعمال تصحیح یاپ، در پیش‌بینی رفتار یک ردیف جت دایره‌ای در برخورد به صفحه مقعر استوانه‌ای مورد بحث و ارزیابی قرار گرفته است. در بخش اعتبارسنجی با اعمال تصحیح یاپ به مدل رینولذز پایین CHC، خطاب برای عدد ناسلت در نقطه برخورد از $117/2$ درصد به $28/4$ درصد کاهش داشته است. در نهایت از بین مدل‌های آشفتگی استفاده شده در این مطالعه، تنها مدل آشفتگی SST $k-\omega$ توانست توزیع عدد ناسلت در نقطه برخورد و راستای منحنی را با دقیقی مناسب پیش‌بینی کند.

نتایج به دست آمده نشان‌دهنده آن است که برای میدان جریان حاصل از یک ردیف جت برخوردی، علاوه بر نقطه سکون ایجاد شده در محل برخورد جریان اصلی جت و صفحه مقعر، نقطه سکون ثانویه‌ای

در شکل (۱۲) کانتور توزیع ناسلت در اعداد رینولذز مختلف روی صفحه مقعر نشان داده شده است. برای حالتی که عدد رینولذز 23000 و 40000 می‌باشد، مشاهده می‌شود که بیشینه مقدار عدد ناسلت، با فاصله از نقطه برخورد ظاهر شده است. در حالی که با کاهش عدد رینولذز به 14000 ، بیشینه مقدار عدد ناسلت دقیقاً در نقطه برخورد اتفاق افتاده است. ذکر این نکته حائز اهمیت است که با افزایش عدد رینولذز به 40000 و دور شدن از هسته پتانسیل جت (در راستای شعاعی) و نزدیک شدن به لایه برشی و افزایش برهم کنش سیال جت با محیط اطراف، بر انرژی جنبشی و شدت آشفتگی جت افزوده شده است و این امر می‌تواند بر بیشینه نسبی ایجاد شده بعد از نقطه برخورد در هر دو راستای s و y تأثیر در خور توجهی داشته باشد [32].

در شکل (۱۳) ناسلت متوسط کل صفحه بر حسب E/d های مختلف مورد مقایسه قرار گرفته است. همان‌طور که مشاهده می‌شود، با وجود این که با کاهش E/d ناسلت در نقطه برخورد افزایش پیدا می‌کند اما ناسلت متوسط کل صفحه برای هندسه مرجع ($E/d=5$) نسبت به سایر حالت‌ها بیشتر باقی می‌ماند، که البته این امر در عدد رینولذز $40,000$ مشهودتر می‌باشد.



شار حرارتی (w m^{-2})	q''	حاصل از برخورد جت‌های دیواره، در حد فاصل بین
ضریب ویسکوزیته آشفته	C_u	جت‌ها ایجاد شده است که این امر سبب تشکیل بیشینه
ضریب هدایت حرارتی هوا	K_{air}	نسبی در توزیع عدد ناسلت در راستای محوری y
($\text{w m}^{-1} \text{K}^{-1}$)		می‌باشد که البته با افزایش عدد رینولذز به ۴۰۰۰
عبارت چشمی	S_e	بیشینه نسبی ذکر شده با شدت بیشتری ایجاد شده
($= \rho u_{\text{jet}} d / \mu$)	Re	است. همچنین نتایج بیانگر این امر می‌باشد که با
عدد رینولذز	Nu	افزایش انحنای نسبی از $0/1$ به $0/15$ تغییر قابل
ناسلت که برابر است	Nu_a	مالحظه‌ای از نظر کمی و کیفی بر توزیع عدد ناسلت
($q''/T_j - T_w$) (d/k_{air})	y^+	در نقطه برخورد و راستای منحنی ایجاد نشده است.
ناسلت متوسط کل صفحه	H	همچنین کاهش فاصله مرکز جت‌ها تا لبه خروجی
فاصله بدون بعد از دیواره	E	صفحةً مقعر (E/d)، سبب شده است تا انرژی جنبشی
(mm)	p	آشفتگی در ناحیه برخورد افزایش یابد و به موجب
فاصله برخورد	d	همین امر در عدد رینولذز ۴۰۰۰، با کاهش E/d از ۵
(mm)	D	به ۲، عدد ناسلت در نقطه برخورد به میزان ۲۱ درصد
فاصله مرکز جت تا لبه خروجی (mm)	u_i	افزایش داشته است. اما ذکر این نکته حائز اهمیت
(kg $\text{m}^{-1} \text{s}^{-2}$)	l	است که ناسلت متوسط کل صفحه مقعر با کاهش E/d حداکثر کاهشی معادل $6/49$ درصد را نشان می‌دهد.
فشار استاتیکی متوسط (mm)	l_e	
قطر جت (mm)	u_i, u_j	
قطر صفحه برخورد (mm)		
(m s^{-1})		
متغیر سرعت متوسط (mm s^{-1})		
مقیاس طول آشفتگی		
مقیاس طول تعادلی		
(m s^{-1})		
مؤلفه‌های نوسانی سرعت (میلی‌متر/ثانیه)		
تابع ضرایب بستار	α, β	انحنای نسبی که برابر است با d/D
اضمحلال انرژی جنبشی آشفته ($\text{m}^2 \text{s}^{-3}$)	ϵ	C_r
لرجت دینامیکی ($\text{kg m}^{-1} \text{s}^{-1}$)	μ	انرژی جنبشی آشفتگی ($\text{m}^2 \text{s}^{-2}$)
لرجت آشفتگی ($\text{kg m}^{-1} \text{s}^{-1}$)	μ_t	K
چگالی (kg m^{-3})	ρ	تابسور نرخ کرنش
فرکانس آشفتگی (s^{-1})	ω	S_{ij}
		تنش‌های رینولذز
زیرنویس‌ها		
هوای دیواره	air	تابع آمیختگی تابع میراکنده
جت	jet	F_1, F_2
	w	تابع میراکنده
		f_1, f_2
		تولید انرژی جنبشی آشفتگی
		P_k
		جهات مختصات (x, y, z)
		x_i
		دماهی محیط (K)
		T_∞
		دماهی هوای ورودی جت (K)
		T_{jet}
		زمان (s)
		t
		سرعت جت (m s^{-1})
		u_{jet}

فهرست علامت

- Chupp, R. E., Helms, H. E., McFadden, P. W., Brown, T. R., "Evaluation of internal heat transfer coefficients for impingement cooled turbine airfoils", *AIAA Journal of Aircraft*, Vol. 6, pp. 203-208, (1969).

مراجع

2. Bunker, R. S., Metzger, D. E., "Local heat transfer in internally cooled turbine airfoil leading edge regoins": part 1- impingement cooling without film coolant extraction, *ASME Journal of Turbomachinery*, Vol. 112, pp. 451-458, (1990).
3. Lee, D. H, Chung, Y. S., Won, S. Y., "The effect of concave surface curvature on heat transfer from a fully developed round impinging jet", *International Journal of Heat and Mass Transfer*, Vol. 42, pp. 2489-2497, (1990).
4. Fenot, M., Vullierme, J. -J., Dorignac, E., "Local heat transfer due to several configurations of circular air jets impinging on a flat plate with and without semi-confinement", *International Journal of Thermal Sciences*, Vol. 44, pp. 665-675, (2005).
5. Fenot, M., Vullierme, J. -J., Dorignac, E., "An experimental study on hot round jets impinging a concave surface", *International Journal of Heat And Fluid Flow*, Vol. 29, pp. 945-956, (2008).
6. Lee, C. H., Lim, K. B., Lee, S. H., Yoon, Y. J., Sung, N. W., "A study of the heat transfer characteristics of turbulent round round jet impinging on an inclined concave surface liquid crystal transient method", *Experimental Thermal and Fluid Science* Vol. 31, pp. 559-565, (2007).
7. Mohammadpour, J., Rajabi-Zargarabadi, M., Mujumdar, A. S., "Effect of intermittent and sinusodial pulsed flows on impingement heat transfer from a concave surface", *International Journal of Thermal Sciences*, Vol. 76, pp. 118-127, (2014).

۸ محمدپور. جواد، رجبی زرگرآبادی. مهران، احمدی. هادی، "تحلیل عددی جریان و انتقال حرارت آشفته در جت نوسانی برخورده به سطح مقعر"، ماهنامه علمی پژوهشی مهندسی مکانیک مدرس، دوره. ۱۳، شماره. ۱، صفحه. ۱۲۹-۱۳۷. (۱۳۹۲).

9. Bazdidi Tehrani, F., Karami, F. and Jahromi, M., "Unsteady flow and heat transfer analysis of an impinging synthetic jet", *International Journal of Heat and Mass Transfer*, Vol. 47, No. 11, pp. 1363-1373, (2011).
10. Sharif, M.A.R. and Mothe, K.K. "Evaluation of Turbulence Models in the Prediction of Heat Transfer Due to Slot Jet Impingement on Plane and Concave Surfaces", *International Journal of Computation and Methodology*, Vol. 55, pp. 273-294, (2009).
11. Choi, M., Yoo, H.S., Yang, G., Lee, J.S. and Sohn, D.K., "Measurement of impinging jet flow and heat transfer on a semi-circular concave surface", *International Journal of Heat and Mass Transfer*, Vol. 43, pp. 1811-1822, (2000).
12. Rama Kumar, B.V.N. and Prasad, B.V.S.S., "Computational flow and heat transfer of a row of circular jets impinging on a concave surface", *International Journal of Heat and Mass Transfer*, Vol. 44, pp. 667-678, (2007).
13. Martin, E.L., Wright, L.M. and Crites, D.C. "Impingement heat transfer enhancement on a cylindrical leading edge model with varying jet temperatures", *Journal of Turbomachinery*, Vol. 135, (2012).
14. Martin, E.L., Wright, L.M. and Crites, D.C., "Computational investigation of jet impingement on turbine blade leading edge cooling with engine-like temperatures", *Conf, International Gas Turbine Institute*, Denmark, pp. 311-322, (2012).
15. Elebiary, K. and Taslim, M.E., "Experimental/ Numerical crossover jet impingement in an airfoil leading edge cooling channel", *Journal of Turbomachinery*, Vol. 135, (2013).
16. Yang, Y.T., Wei, T.C. and Wang, Y.H., "Numerical study of turbulent slot jet impingement cooling on a semi-circular concave surface", *International Journal of Heat and Mass Transfer*, Vol. 54, pp. 482-489, (2011).
17. Xie, Y., Li, P., Lan, J. and Zhang, D., "Flow and heat transfer characteristics of single jet impinging on dimpled surface", *Journal Heat Transfer*, Vol. 135, (2013).

18. Yang, L., Ren, J., Jiang, H. and Ligrani, P., "Experimental and numerical investigation of unsteady impingement cooling within a blade leading edge passage", *International Journal of Heat and Mass Transfer*, Vol. 71, pp. 57-68, (2014).
19. ANSYS FLUENT 14.0, User's Guide, ANSYS Inc, (2014).
20. Imbriale, M., Laniro, A., Meola, C. and Cardone, G., "Convective heat transfer by a row of jets impinging on a concave surface", *International Journal of Thermal Science*. Vol. 75, pp. 153-163, (2014).
21. Caliskan, S., Baskaya, S. and Calisir, T., "Experimental and numerical investigation of geometry effects on multiple impinging air jets", *International Journal of Heat and Mass Transfer*. Vol. 75, pp. 685-703, (2014).
22. Menter, F. R., "Two equation eddy-viscosity turbulence models for engineering application", *AIAA Journal*, Vol. 32, No. 8, pp. 269-289, (1994).
23. Chang, K., Hsieh, W. and Chen, C., "Modified Low-Reynolds- Number Turbulence Model Application to Recirculating flow in pipe expansion", *Journal Fluid Eng*, Vol. 117, PP. 417-423, (1995).
24. Yap, C. R., "Turbulent heat and momentum transfer in recirculation and impinging flows", Ph. D. thesis, University of Manchester institute of science technology, Manchester, UK, (1987).
25. Ahmadi, H., Rajabi-Zargarabadi, M., Mujumdar, A.S. and Mohammadpour, J., "Numerical Modeling of a Turbulent Semi-Confining Slot Jet Impinging on a Concave Surface", *Thermal Science*, Vol. 19, pp. 129-140, (2015).
26. Wang, S.J. and Mujumdar, A.S., "A comparative study of five low Reynolds number k- ϵ models for impingement heat transfer", *Journal of Applied Thermal Engineering*, Vol. 25, pp. 31-44, (2005).
27. Hosseinalipour, S.M. and Mujumdar, A.S., "Comparative evaluation of different turbulence models for confined impinging and opposing jet flows", *Numerical Heat Transfer*, Vol. 28, pp. 647-666, (1995).
28. Thomann, H., "Effect of streamwise wall curvature on heat transfer in a turbulent boundary layer", *Journal of Fluid Mech*, Vol. 33, pp. 283-292, (1968).
29. Schlichting, H., "Boundary layer theory", 7th ed, McGraw-Hill, New York, (1979).
30. Goldstein, R.J. and Seol, W.S., "Heat transfer to a row of impinging circular air jets including the effect of entrainment", *International Journal of Heat and Mass Transfer*, Vol. 34, pp. 2133-2147, (1991).
31. Gilard, V. and Brizzi, L.-E., "Slot jet impinging on a concave curved wall", *Journal of Fluid Engineering*, Vol. 127, pp. 595-603, (2005).
32. Lee, J. and Lee, S.J., "Stagnation region heat transfer of a turbulent axisymmetric jet impingement", *Experimental Heat Transfer*, Vol. 12, pp. 137-156, (1990).